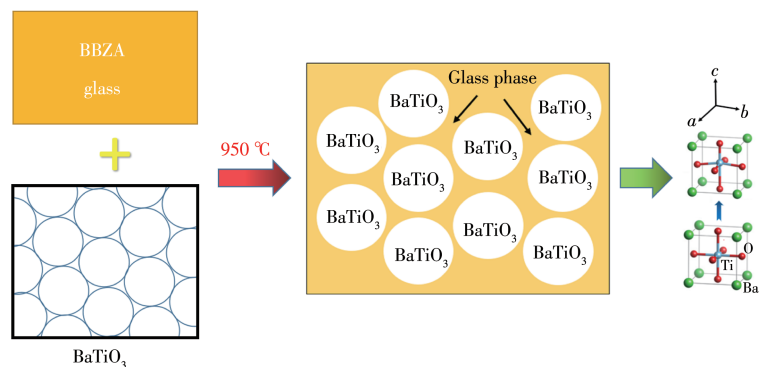


Effect of B_2O_3 - Bi_2O_3 - ZnO - Al_2O_3 glass additive on sintering condition, crystal structure, and dielectric properties of $BaTiO_3$ ceramics

YUAN Qi, LIU Gao-Bin, WANG Sen

DOI:10.11862/CJIC.2023.014

Chinese J. Inorg. Chem., 2023, 39(00):-



Using B_2O_3 - Bi_2O_3 - ZnO - Al_2O_3 glass as sintering aid to reduce the sintering temperature of $BaTiO_3$ ceramics and change its lattice constant can inhibit and broaden the Curie peak.

B₂O₃-Bi₂O₃-ZnO-Al₂O₃玻璃助烧剂对BaTiO₃陶瓷烧结条件、晶体结构和介电性能的影响

袁 琦 刘高斌 王 森*

(辽宁科技大学材料与冶金学院,鞍山 114051)

摘要: 通过调节B₂O₃-Bi₂O₃-ZnO-Al₂O₃(BBZA)玻璃的添加量研究其对钛酸钡(BaTiO₃)陶瓷烧结条件、晶体结构和介电性能的影响。结果表明:添加适量的BBZA玻璃能够有效地将BaTiO₃陶瓷烧结温度由1350℃降至950℃,并使其致密化。同时,添加BBZA玻璃后,BaTiO₃的晶体结构随着烧结温度的升高而发生转变(立方相→四方相)。另外,BBZA玻璃的引入使BaTiO₃陶瓷的居里峰得到了有效的抑制和拓宽。陶瓷微观形貌显示,玻璃相均匀分布在BaTiO₃晶粒表面。优化的BaTiO₃陶瓷制备条件如下:BBZA添加量(质量分数)为2.0%,烧结温度为950℃。在该条件下制备的BaTiO₃陶瓷介电常数达到1364,介电损耗低至1.2%。

关键词: BaTiO₃; B₂O₃-Bi₂O₃-ZnO-Al₂O₃玻璃; 低温烧结

中图分类号: TQ174 **文献标识码:** A **文章编号:** 1001-4861(2023)00-0000-07

DOI: 10.11862/CJIC.2023.014

Effect of B₂O₃-Bi₂O₃-ZnO-Al₂O₃ glass additive on sintering condition, crystal structure, and dielectric properties of BaTiO₃ ceramics

YUAN Qi LIU Gao-Bin WANG Sen*

(School of Materials and Metallurgy Engineering, University of Science and Technology Liaoning, Anshan, Liaoning 114051, China)

Abstract: The effects of B₂O₃-Bi₂O₃-ZnO-Al₂O₃ (BBZA) glass on the sintering conditions, crystal structure, and dielectric properties of barium titanate (BaTiO₃) ceramics were investigated. The results show that the addition of the appropriate amount of BBZA glass powder can effectively reduce the sintering temperature of BaTiO₃ ceramics from 1350 to 950 °C and make it densified. Consequently, the structure of BaTiO₃ phase changed (cubic phase → tetragonal phase) with the increase of sintering temperature after adding BBZA glass. Additionally, the Curie peak of BaTiO₃ ceramics were effectively suppressed and broadened. The ceramic microstructure showed that the glass phase was uniformly distributed on the surface of BaTiO₃ grains. The optimized preparing conditions for the BaTiO₃ ceramics were as follows: the addition (mass fraction) of BBZA glass was 2.0% and the sintering temperature was 950 °C. The BaTiO₃ ceramics prepared under these conditions had a dielectric constant of 1364 and a dielectric loss as low as 1.2%. When the sintering temperature was higher than 950 °C, the addition amount of BBZA glass should not be greater than 2.0%, too much BBZA glass will lead to the semiconducting of BaTiO₃.

Keywords: BaTiO₃; B₂O₃-Bi₂O₃-ZnO-Al₂O₃ glass; low-temperature sintering

收稿日期:2022-09-23。收修改稿日期:2022-12-12。

辽宁省教育厅项目(No.2019FWDF01)资助。

*通信联系人。E-mail:wsenl@yeah.net

0 引言

钛酸钡(BaTiO_3)是典型的钙钛矿(ABO_3)型结构,具有高介电常数、低介电损耗和温度特性,被广泛应用于诸多领域,如片式多层陶瓷电容器(multi-layer ceramic capacitors, MLCC)的介质材料、多层基片和电子陶瓷元件等方面,是集成电路模块不可或缺的基础材料^[1-3]。低温共烧陶瓷(low temperature co-fired ceramic, LTCC)技术打破传统集成电路模块表面焊接独立元件(如MLCC)的方式,直接将元件埋入陶瓷基板中。这种方式与传统的集成方式相比,具有良好的高频特性、高速传输特性和高组装密度等。LTCC技术已成为电子陶瓷发展的主流方向,而这种技术大多要求电子陶瓷材料与廉价金属(Ag 、 Cu 等)实现共烧,其烧结温度应低于950 °C^[4]。然而, BaTiO_3 烧结温度高达1 350 °C,无法满足LTCC烧结温度要求,所以降低 BaTiO_3 陶瓷致密化烧结温度,具有十分重要的意义。

Valant等^[5]向 BaTiO_3 中添加 Li_2O ,将其作为烧结助剂,降低 BaTiO_3 烧结温度至820 °C,且相对密度大于95%;Naghib-zadeh等^[6]以 LiF 为烧结助剂,使 BaTiO_3 烧结温度降至900 °C,相对密度达到98%。这种烧结助剂添加方式,虽然有效降低了 BaTiO_3 陶瓷的烧结温度,但是会导致第二相的产生。如果将烧结助剂以玻璃相形式引入,不仅可以降低烧结温度,还可以避免第二相的产生,为此人们开发了适合不同体系 BaTiO_3 陶瓷的玻璃助烧剂。

Hsiang等^[7]向 BaTiO_3 中加入 ZnO - B_2O_3 - SiO_2 系玻璃,在900 °C烧结得到相对密度为95%,介电常数为994,介电损耗为0.016的 BaTiO_3 陶瓷;Jeon等^[8]向 BaTiO_3 引入 BaO - B_2O_3 - SiO_2 系玻璃,使烧结温度降低至900 °C,相对密度为93%,介电常数高达2 781。这22种玻璃助烧剂可以成功降低 BaTiO_3 陶瓷的烧结温度。然而,既可以降低 BaTiO_3 烧结温度,又可以调控其介电性能(如:拓宽居里峰)的报道少之又少^[9]。使用氧化物玻璃助烧 BaTiO_3 的同时也会起到掺杂作用,所以氧化物的选择,要考虑对 BaTiO_3 掺杂的影响。 B_2O_3 - ZnO 和 Bi_2O_3 作为 BaTiO_3 的助烧剂效果十分明显,不仅如此,这3种氧化物对 BaTiO_3 的居里峰也有很好的抑制作用,尤其是在X8R电容器方面^[10-11]。虽然助烧剂可以降低 BaTiO_3 烧结温度,但容易引起 BaTiO_3 晶粒的二次再结晶,文献^[12]报道 Al_2O_3 对 BaTiO_3 二次再结晶有很好的抑制效果。所以我们采用 B_2O_3 、 Bi_2O_3 、 ZnO 和 Al_2O_3 制备氧化物玻

璃,以其作为 BaTiO_3 的助烧剂。

以 B_2O_3 - Bi_2O_3 - ZnO - Al_2O_3 (BBZA)系玻璃作为助烧剂,研究其对 BaTiO_3 陶瓷烧结温度、晶体结构及介电性能的影响。发现BBZA玻璃可以有效降低 BaTiO_3 陶瓷烧结温度,同时改善介电性能,抑制并拓宽居里峰。与此同时,采用各种表征手段研究BBZA玻璃中改性剂(B_2O_3)对玻璃和 BaTiO_3 陶瓷之间的烧结行为和化学反应的影响。

1 实验部分

1.1 实验原料

原料主要包括 BaTiO_3 (99.5%,上海阿拉丁生化科技股份有限公司)、 B_2O_3 (98.0%,开原化学试剂厂)、 Bi_2O_3 (99.99%,上海阿拉丁生化科技股份有限公司)、 ZnO (99.0%,中国医药集团有限公司)、 Al_2O_3 (99.0%,中国医药集团有限公司)。

1.2 实验方法

1.2.1 BBZA玻璃制备

采用 B_2O_3 、 Bi_2O_3 和 ZnO 按照物质的量之比6:2:2混合,然后加入质量分数为2.0%的 Al_2O_3 。将原料放入行星球磨机中球磨2 h,然后放入烘箱中100 °C干燥1 h。再放入马弗炉中1 000 °C下熔融25 min,将玻璃液倒入去离子水中淬火,获得BBZA玻璃。将BBZA玻璃碾磨成玻璃粉,其软化温度为584 °C。

1.2.2 陶瓷样品配比与制备

首先将 BaTiO_3 粉料在5 MPa的单轴压力下成型,放入马弗炉中900 °C预烧结2 h备用。将制备好的BBZA玻璃分别按照质量分数1.0%、2.0%和3.0%加入到 BaTiO_3 中,在乙醇介质中球磨4 h,球粉比重为8:1,球磨速度为400 r·min⁻¹。然后将粉末在100 °C的烘干箱中干燥1 h,再将干燥后的粉末放入玛瑙研钵中,加入5%的聚乙烯醇(PVA)溶液研磨30 min,混合均匀,5 MPa单轴压力下成型,对制备好的生坯进行冷等静压,压力大小为200 MPa。最后,将生坯放入高温炉中以4 °C·min⁻¹升温至600 °C保温1 h(排胶),然后以3 °C·min⁻¹升温速度升至烧结温度,并保温2 h。样品制备过程见图1。

采用阿基米德法测定了陶瓷样品的体积密度,而加热过程中坯体样品的线收缩行为则是用NetzschDIL 402C型热膨胀仪表征。样品的晶体结构和显微结构分别采用X射线衍射仪(XRD,工作电压40 mV,工作电压40 mA, $\text{Cu K}\alpha$ 辐射,波长 $\lambda=0.154\ 06\ \text{nm}$,扫描范围 $10^\circ < 2\theta < 90^\circ$,步长0.01°)和扫

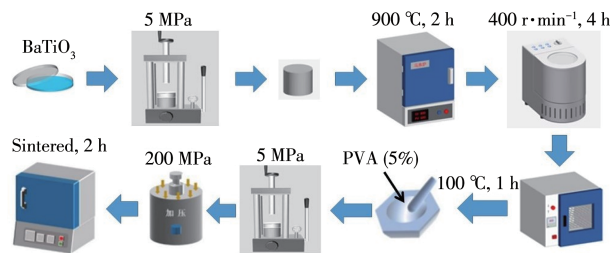


图 1 实验流程图

Fig.1 Flow chart of experiment

扫描电子显微镜(SEM, 加速电压 10 kV)表征。陶瓷材料的介温特性和介频特性分别使用 LCR 数字电桥(TH2810D, 检测频率为 10 kHz)和精密 LCR 测试仪(E4980A, 检测频率为 0~300 kHz)进行监测。

2 结果与讨论

2.1 密度及线收缩

图 2 显示了最后一次在高温炉中不同温度下烧结的陶瓷样品种密度与 BBZA 玻璃添加量的关系。各温度下烧结的陶瓷样品种密度(BaTiO_3 理论密度为 $6.017 \text{ g} \cdot \text{cm}^{-3}$)^[13]随玻璃添加量的增大呈上升趋势, 其中添加量为 3.0% 的陶瓷样品在 950 °C 下烧结密度最大为 $5.55 \text{ g} \cdot \text{cm}^{-3}$, 这说明 BBZA 玻璃有助于陶瓷样品的烧结。

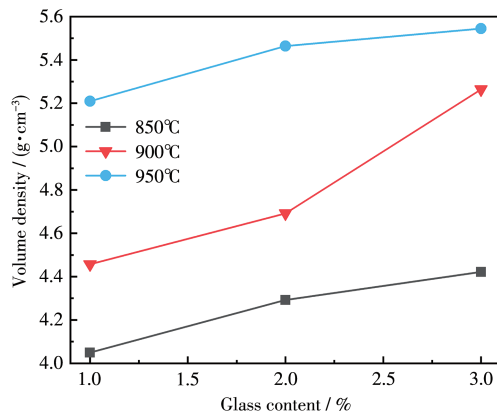


图 2 各种温度下烧结陶瓷样品种密度和相对密度随 BBZA 玻璃添加量变化曲线

Fig.2 Volume densities and relative densities of sintered ceramic samples at various temperatures varied with the amount of BBZA glass added

从图 3 中可以看出 BBZA 玻璃添加量不同的陶瓷样品收缩情况(dL/L_0 , dL 为线变化量, L_0 为起始线长度)。3 种 BBZA 玻璃添加量的样品线收缩趋势相同, 添加量为 1.0% 的样品生坯从 650.1 °C 开始收缩; 添加量为 2.0% 的样品生坯从 630.6 °C 开始收缩;添

加量为 3.0% 的样品生坯从 613.6 °C 开始收缩。当温度达到 950 °C 左右, 3 种陶瓷样品线收缩率相近。

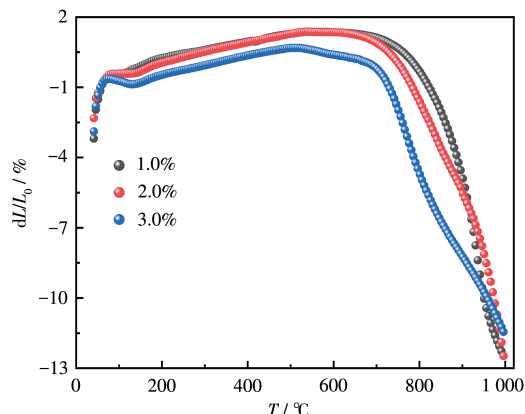


图 3 不同 BBZA 玻璃添加量的陶瓷样品线收缩情况

Fig.3 Linear shrinkage of ceramic samples with different BBZA glass additions

2.2 微观形貌及相组成

图 4 为 BBZA 玻璃添加量不同的陶瓷样品经 950 °C 烧结后的 SEM 照片。从图中可以看出, BBZA 玻璃添加量为 1.0% 时, 陶瓷样品晶粒形状最为明显; BBZA 玻璃添加量为 2.0% 时, 陶瓷样品晶粒形状开始有些模糊, 这是由于晶界处被玻璃相填充; BBZA 玻璃添加量为 3.0% 时, 玻璃相最多, 晶粒被玻璃相完全包覆, 晶粒形状更加模糊, 但该陶瓷样品最为致密。陶瓷样品在烧结过程中, BBZA 玻璃会形成液相, 填充晶粒间隙, 从而促进陶瓷样品致密化。

图 5 显示, 添加 2.0% BBZA 玻璃的 BaTiO_3 陶瓷在 850、900 和 950 °C 下烧结均未产生新相, 但随着烧结温度的升高, BaTiO_3 衍射峰在 22° 、 45° 、 50° 、 56° 、 66° 、 70° 、 74° 和 79° 处出现拓宽和劈裂现象, 且各峰值均有所增强。850 °C 下烧结 BaTiO_3 陶瓷呈立方相(PDF No.98-002-8850), 950 °C 下烧结 BaTiO_3 陶瓷呈四方相(PDF No.01-075-1169)。图 5 中橙色框区域为 $2\theta=45^\circ\sim46^\circ$ 局部放大图, 粉色框为局部峰晶面指数。放大图为(002)和(200)晶面峰劈裂最明显的位置, 可以明显观察到, 添加 BBZA 玻璃后, 升高烧结温度后(002)晶面峰向低角度偏移且峰值逐渐增大,(200)晶面峰则向高角度偏移, 说明晶格常数 c 增大, a 减小, 这是 BaTiO_3 从立方相向四方相转变的典型特征^[16]。这可能是由于玻璃相中的阳离子进入 BaTiO_3 晶格(Bi^{3+} 、 Zn^{2+} 、 Al^{3+} 占据 A 位, B^{3+} 占据 B 位)^[17-19], 这种 A 位或 B 位的取代使晶格常数发生变化(c/a 值增大), 如表 1 所示。

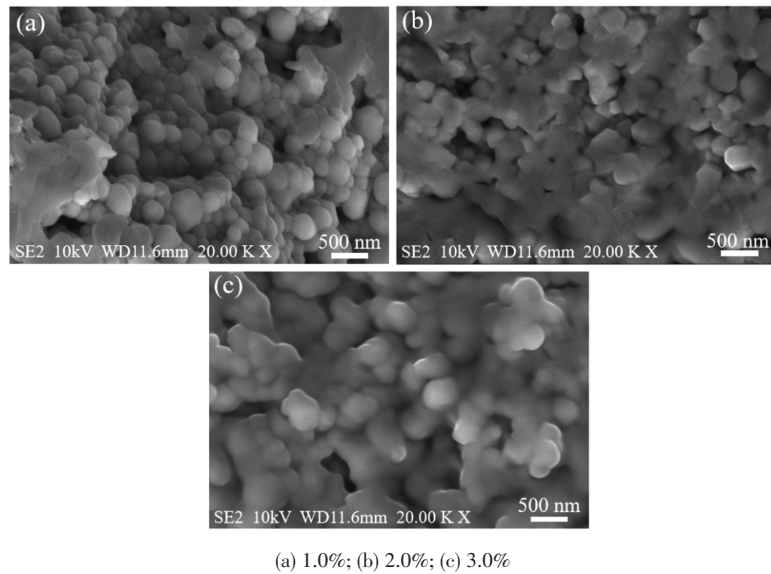
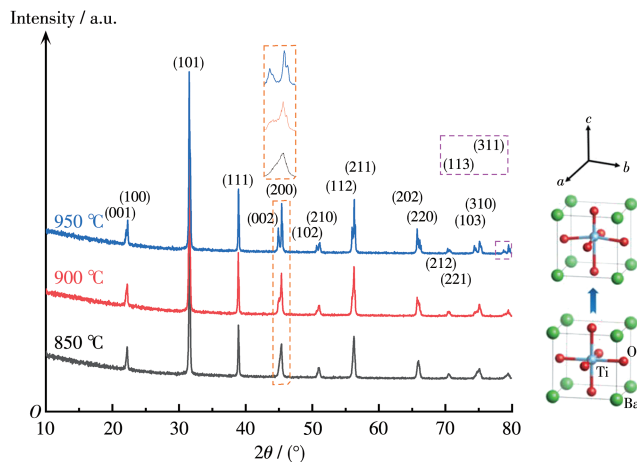


图4 不同BBZA玻璃添加量的陶瓷样品经950 °C烧结后的SEM照片

Fig.4 SEM images of ceramic samples with different BBZA glass additions sintered at 950 °C

图5 添加2.0% BBZA玻璃在不同温度下烧结的陶瓷样品的XRD图及晶体结构变化^[14]Fig.5 XRD patterns and crystal structure changes^[14] of ceramic samples sintered with 2.0% BBZA glass at different temperatures表1 添加2.0% BBZA玻璃在不同温度下烧结的BaTiO₃的晶格常数Table 1 Lattice constants of BaTiO₃ sintered at different temperatures by adding 2.0% BBZA glass

Temperature / °C	<i>a</i> / nm	<i>c</i> / nm	<i>V</i> / nm ³	<i>c/a</i>
850	0.401 2	0.401 2	0.064 6	1
900	0.399 5	0.403 1	0.064 3	1.008 9
950	0.399 1	0.403 6	0.064 3	1.011 2

* $V=a^2c^{[15]}$.

2.3 介电性能

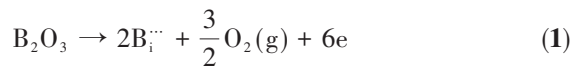
图6为不同BBZA玻璃添加量陶瓷样品的介电常数(ϵ_r)和介电损耗($\tan \delta$)随温度的变化曲线。从图中可以看出,各烧结温度下烧结的陶瓷样品 ϵ_r 随BBZA玻璃添加量的增大而降低,唯有950 °C下BBZA玻璃添加量为3.0%时 ϵ_r 发生突变。还可以清

晰地观察到,BBZA玻璃的引入使陶瓷样品的居里峰不再尖锐。BBZA玻璃添加量越多居里峰越平坦,950 °C下烧结且BBZA玻璃添加量为2.0%的样品, ϵ_r-T 曲线最为平坦。各烧结温度下,添加2.0%BBZA玻璃的陶瓷样品 $\tan \delta$ 均低于添加1.0%BBZA玻璃的陶瓷样品。这可能是因为,在高温烧结过程

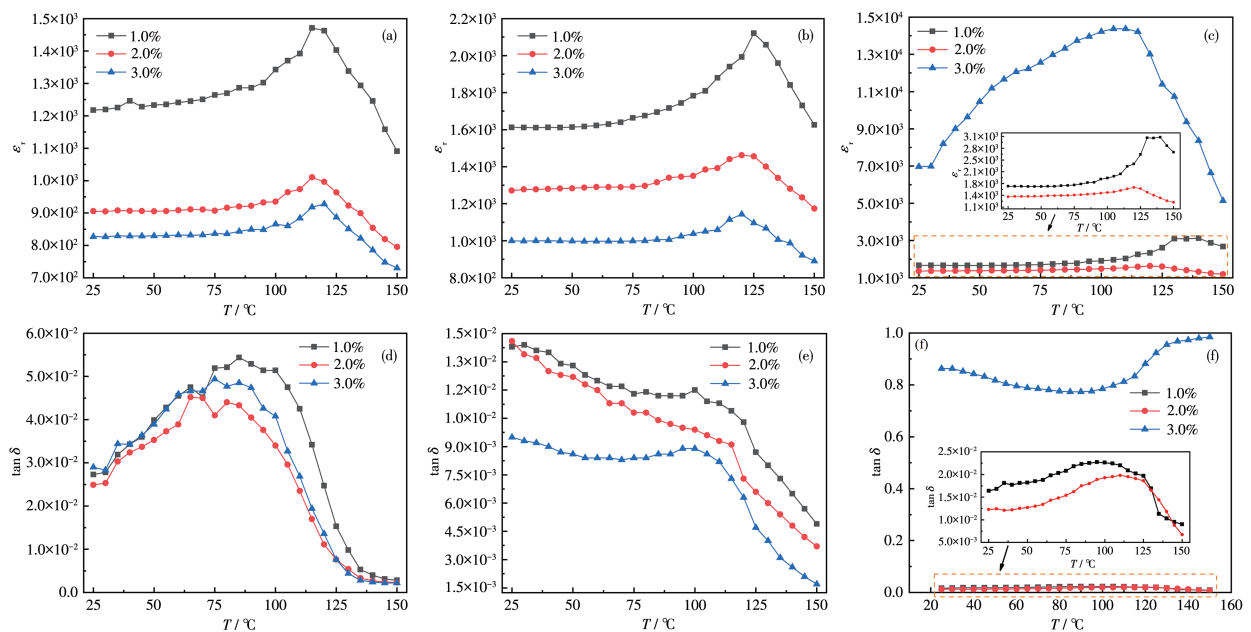
中, BBZA 玻璃中金属氧化物产生金属阳离子, 同时释放电子对氧空位进行补偿。BBZA 玻璃添加量越多释放电子越多, 电子平衡氧空位的电荷越多, 导致带电的氧空位越少, 进而降低 $\tan \delta^{[20]}$; 850 ℃烧结陶瓷样品的 $\tan \delta$ 较高, 可能是陶瓷样品密度较低所导致^[21]。

950 ℃下添加 3.0%BBZA 玻璃的 $BaTiO_3$ 陶瓷的 ϵ_r 发生突变, 出现巨介电常数情况, 最大值达到

14 368。相应的 $\tan \delta$ 也发生突变, 其值大于 0.77。这可能是玻璃相中含有较多 B^{3+} 导致 $BaTiO_3$ 半导体化, B^{3+} 半径远小于 Ba^{2+} 无法形成 A 位取代, 但是 B^{3+} 可能留在 $BaTiO_3$ 晶格的间隙位置, 缺陷方程式见式 1:



其中, $B_i^{...}$ 表示 B^{3+} 位于晶格间隙位置, e 表示电子。



ϵ_r -T curves: (a) 850 ℃, (b) 900 ℃, (c) 950 ℃; $\tan \delta$ -T curves: (d) 850 ℃, (e) 900 ℃, (f) 950 ℃; Inset: the corresponding enlarged diagrams

图 6 不同 BBZA 玻璃添加量和不同烧结温度陶瓷样品的介温图(10 kHz)

Fig.6 Dielectric diagrams of ceramic samples with different BBZA glass additions and different sintering temperatures (10 kHz)

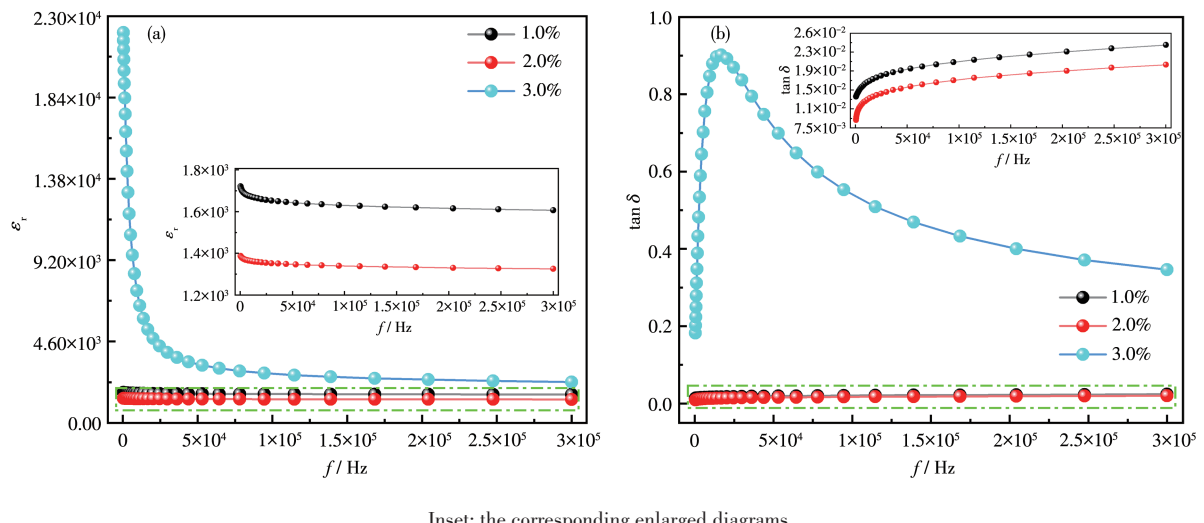


图 7 950 ℃下烧结不同添加量 BBZA 玻璃的陶瓷样品室温介频图: (a) ϵ_r -f 曲线; (b) $\tan \delta$ -f 曲线

Fig.7 Room temperature dielectric frequency diagrams of ceramic samples sintered with different additions of BBZA glass at 950 ℃: (a) ϵ_r -f curves; (b) $\tan \delta$ -f curves

上述过程中会产生电子,为了保持电中性,Ti⁴⁺将俘获1个电子形成Ti³⁺,导致BaTiO₃半导体化^[22]。所以当烧结温度大于950℃时,BBZA玻璃添加量不宜大于2.0%。

整体来看,烧结温度越高陶瓷样品的 ϵ_r 越大,tan δ越小。随着烧结温度的升高,BaTiO₃晶粒会逐渐长大。从图4中可以看出,BaTiO₃晶粒均小于1 μm。当晶粒尺寸小于1 μm时,晶粒长大时会明显减少低 ϵ_r 的晶界数量,这对陶瓷样品介电性能有良好的改善效果^[23]。

图7显示不同BBZA玻璃添加量的陶瓷样品介电常数和介电损耗随频率(f)的变化。各样品 ϵ_r 均随频率的升高而降低,3种添加量的陶瓷样品下降趋势基本相同,其中添加3.0%BBZA玻璃的BaTiO₃陶瓷下降幅度最大;添加1.0%和2.0%BBZA玻璃的BaTiO₃陶瓷,tan δ上升趋势基本相同。添加3.0%BBZA玻璃的BaTiO₃陶瓷tan δ随频率升高先增大后减小。烧结过程中玻璃相会对BaTiO₃晶粒进行包覆,如图8所示,导致晶界处充满玻璃相。空间电荷极化机制交换电子时,电子一定会穿过电介质的晶粒和晶界及玻璃相,引起晶界效应,导致 ϵ_r 在低频区迅速降低^[24];且晶界处的玻璃网络结构容易被破坏,导致离子发生移动,造成tan δ增大^[25-26];其次,随外电场频率逐渐升高,偶极子转向难度增加,松弛极化减弱,二者与频率变化不协同,对介电性能影响明显减弱,造成 ϵ_r 减小,tan δ增加^[27-28]。

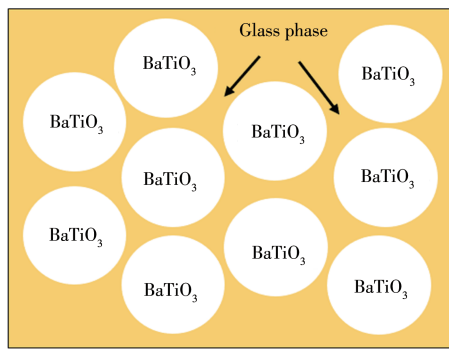


图8 玻璃相包裹BaTiO₃晶粒示意图

Fig.8 Schematic diagram of BaTiO₃ grain wrapped by glass phase

3 结 论

为了降低BaTiO₃陶瓷烧结温度,以B₂O₃、Bi₂O₃、ZnO、Al₂O₃为原料,制备出BBZA玻璃。研究不同BBZA玻璃添加量对BaTiO₃陶瓷致密化烧结温度及

介电性能影响:(1)BBZA玻璃的添加成功将BaTiO₃陶瓷致密化烧结温度降至950℃以下,添加量为3.0%的样品在950℃下烧结密度最大为5.55 g·cm⁻³;(2)添加BBZA玻璃后升高烧结温度会使BaTiO₃晶体结构从立方相向四方相转变,这是因为助烧剂中阳离子占据Ba位、Ti位或间隙;(3)BBZA玻璃的引入,可以明显降低介电损耗,并使居里峰展宽;(4)BBZA玻璃可以明显降低BaTiO₃陶瓷烧结温度,并改善其介电性能。若升高烧结温度,则BBZA玻璃添加量不宜大于2.0%,过多的B₂O₃将引起缺陷反应,导致B³⁺进入BaTiO₃晶格间隙,BaTiO₃半导体化。

参考文献:

- [1] Gotor F J, Perez-Maqueda L A, Criado J M. Synthesis of BaTiO₃ by applying the sample controlled reaction temperature (SCRT) method to the thermal decomposition of barium titanyl oxalate. *J. Eur. Ceram. Soc.*, **2003**, *23*(3):505-513
- [2] 周舟. 钛酸钡基陶瓷的制备及掺杂改性研究. 广州: 广东工业大学, **2014**:3-11
- ZHOU Z. Study on preparation and doping modification of barium titanate based ceramics. Guangzhou: Guangdong University of Technology, **2014**:3-11
- [3] Shaifudin M S, Ghazali M S M, Abdullah W R W, Lkhmal W M, Kassim S. Microstructure and electrical properties of low-voltage barium titanate doped zinc oxide varistor ceramics. *International Journal of Recent Technology and Engineering*, **2019**, *8*:2713-2718
- [4] Glitzky C, Rabe T, Eberstein M, Schiller W A, Töpfer J, Barth S, Kipka A. LTCC-modules with integrated ferrite layers—Strategies for material development and Co-sintering. *J. Microelectron. Electron. Packag.*, **2009**, *6*(1):49-53
- [5] Valant M, Suvorov D, Pullar R C, Sarma K, Alford N M. A mechanism for low-temperature sintering. *J. Eur. Ceram. Soc.*, **2006**, *26*(13):2777-2783
- [6] Naghib-zadeh H, Glitzky C, Dörfler I, Rabe T. Low temperature sintering of barium titanate ceramics assisted by addition of lithium fluoride-containing sintering additives. *J. Eur. Ceram. Soc.*, **2010**, *30*(1):81-86
- [7] Hsiang H I, Hsi C S, Huang C C, Fu S L. Sintering behavior and dielectric properties of BaTiO₃ ceramics with glass addition for internal capacitor of LTCC. *J. Alloy. Compd.*, **2008**, *459*(1/2):307-310
- [8] Jeon H P, Lee S K, Kim S W, Choi D K. Effects of BaO-B₂O₃-SiO₂ glass additive on densification and dielectric properties of BaTiO₃ ceramics. *Mater. Chem. Phys.*, **2005**, *94*(2/3):185-189
- [9] Tian Y S, Gong Y S, Zhang Z L, Meng D W. Phase evolutions and electric properties of BaTiO₃ ceramics by a low-temperature sintering process. *J. Mater. Sci.-Mater. Electron.*, **2014**, *25*(12):5467-5474
- [10] Wang S, He H, Su H. Effect of Bi₂O₃ doping on the dielectric properties of medium-temperature sintering BaTiO₃-based X8R ceramics.

- J. Mater. Sci.-Mater. Electron., **2013**,**24**(7):2385-2389
- [11]Sun C K, Wang X H, Ma C, Li L T. Low-temperature sintering barium titanate-based X8R ceramics with Nd_2O_3 dopant and ZnO - B_2O_3 flux agent. *J. Am. Ceram. Soc.*, **2009**,**92**(7):1613-1616
- [12]Fisher J G, Lee B K, Choi S Y, Wang S M, Kang S J L. Inhibition of abnormal grain growth in $BaTiO_3$ by addition of Al_2O_3 . *J. Eur. Ceram. Soc.*, **2006**,**26**(9):1619-1628
- [13]Chen Y, Ye H H, Wang X S, Li Y X, Yao X. Grain size effects on the electric and mechanical properties of submicro $BaTiO_3$ ceramics. *J. Eur. Ceram. Soc.*, **2020**,**40**(2):391-400
- [14]Buscaglia V, Buscaglia M T, Canu G. $BaTiO_3$ -based ceramics: Fundamentals, properties and applications// *Encyclopedia of materials: Technical ceramics and glasses: Vol.3*. Elsevier, **2021**:311-344
- [15]Nièpce J C, Pizzagalli L. Structure and phase transitions in nanocrystals// Bréchignac C, Houdy P, Lahmani M. *Nanomaterials and nanochemistry*. Berlin, Heidelberg: Springer, **2008**:35-54
- [16]Wang H X, Zhao P Y, Chen L L, Li L T, Wang X H. Energy storage properties of $0.87BaTiO_3$ - $0.13Bi(Zn_{2/3}(Nb_{0.85}Ta_{0.15})_{1/3})O_3$ multilayer ceramic capacitors with thin dielectric layers. *J. Adv. Ceram.*, **2020**,**9**(3):292-302
- [17]Wei M, Zhang J H, Wu K T, Chen H W, Yang C R. Effect of $BiMO_3$ ($M=Al, In, Y, Sm, Nd$, and La) doping on the dielectric properties of $BaTiO_3$ ceramics. *Ceram. Int.*, **2017**,**43**(13):9593-9599
- [18]Gao W L, Deng H M, Huang D J, Yang P X, Chu J H. Microstructure and optical properties of Zn-doped $BaTiO_3$ thin films. *J. Phys.: Conf. Ser.*, **2011**,**276**(1):012163
- [19]Wang J, Huang Y F, Guo W L, Xing Z G, Wang H D, Lu Z L, Zhang Z N. First-principles calculations of electronic and optical properties of A and B site substituted $BaTiO_3$. *Vacuum*, **2021**,**193**:110530
- [20]Niu X, Jian X D, Chen X Y, Li H X, Liang W, Yao Y B, Tao T, Liang B, Lu S G. Enhanced electrocaloric effect at room temperature in Mn^{2+} doped lead-free ($BaSr$) TiO_3 ceramics via a direct measurement. *J. Adv. Ceram.*, **2021**,**10**(3):482-492
- [21]Feteira A, Sarma K, Alford N M N, Reaney I M, Sinclair D C. Microwave dielectric properties of gallium-doped hexagonal barium titanate ceramics. *J. Am. Ceram. Soc.*, **2003**,**86**(3):511-513
- [22]Zhuo Q Z, Xiao P Z. Reduction of Ti^{4+} to Ti^{3+} in boron-doped $BaTiO_3$ at very low temperature. *J. Am. Ceram. Soc.*, **2013**,**96**(11):3504-3510
- [23]Buscaglia V, Buscaglia M T, Viviani M, Mitoseriu L, Nanni P, Trefiletti V, Piaggio P, Gregora I, Ostapchuk T, Pokorný J, Petzelt J. Grain size and grain boundary-related effects on the properties of nanocrystalline barium titanate ceramics. *J. Eur. Ceram. Soc.*, **2006**,**26**(14):2889-2898
- [24]El-Shaarawy M G, Rashad M M, Shash N M, Maklad M H, Afifi A F. Structural, AC conductivity, dielectric behavior and magnetic properties of Mg-substituted $LiFe_5O_8$ powders synthesized by sol-gel auto-combustion method. *J. Mater. Sci.-Mater. Electron.*, **2015**,**26**(8):6040-6050
- [25]Chiang C C, Wang S F, Wang Y R, Wei W C J. Densification and microwave dielectric properties of CaO - B_2O_3 - SiO_2 system glass-ceramics. *Ceram. Int.*, **2008**,**34**(3):599-604
- [26]Wang F, Lou Y H, Li Z J, Lei W, Lu Y, Dong Z W, Lu W Z. Improved flexural strength and dielectric loss in Al_2O_3 -based LTCC with La_2O_3 - CaO - B_2O_3 - SiO_2 glass. *Ceram. Int.*, **2021**,**47**(7):9955-9960
- [27]Cai W, Fu C L, Chen G, Gao R L, Deng X L. Dielectric and ferroelectric properties of $xBaZr_{0.52}Ti_{0.48}O_3$ - $(1-x)BiFeO_3$ solid solution ceramics. *J. Mater. Sci.-Mater. Electron.*, **2015**,**26**(1):322-330
- [28]Arshad M, Du H, Javed M S, Maqsood A, Ashraf I, Hussain S, Ma W, Ran H. Fabrication, structure, and frequency-dependent electrical and dielectric properties of Sr-doped $BaTiO_3$ ceramics. *Ceram. Int.*, **2020**,**46**(2):2238-2246